

على النحو التالي :

$$W = \frac{\xi^2}{12 \cdot \mu} \cdot \frac{dP}{dL} \quad (34-1)$$

اعتماداً على المعادلتين (1-32) و (1-33) فإن المعادلة (34-1) ستأخذ الشكل التالي :

$$V = -\frac{\alpha \cdot G \cdot \xi^3}{12 \cdot \mu} \cdot \frac{dP}{dL} \quad (35-1)$$

ومنه فمعامل التفوذة للصخور المتشقة ، كما هو واضح بالمعادلة سيساوي :

$$K_T = \frac{\alpha \cdot G \cdot \xi^3}{12} \quad (36-1)$$

التفوذة الكلية للطبقات المسامية المتشقة تساوي حاصل جمع تفوذة المنطقة المسامية والمنطقة المتشقة .

يتوافق عادة في الطبقات المتشقة المنتجة ضغط الطبقات الفوقية (الضغط الجيوستاتيكي) مع ضغط السائل في الشقوق . عند ثبات الضغط الجيوستاتيكي مع انخفاض الضغط الطبقي وذلك نتيجة لاستثمار القسم الأكبر من النفط الموجود في الطبقة فإن هذا سيؤدي إلى انخفاض قيمة التفوذة وذلك نتيجة لتقلص افتتاح الشقوق إلى قيمة أصغر مما كانت عليه .

1-6- السطح النوعي للصخور

يطلق على مجموع سطوح الحبيبات المشكلة للصخر أو الفتوات المسامية في واحدة الحجم بالسطح النوعي ، حيث أنه كلما كانت الحبيبات المشكلة للصخور صغيرة كبيرة السطح النوعي وبالتالي ينخفض مردود الطبقة من النفط .

إن التفوذة وخاصية الامتصاص واحتواء الصخور للمياه المترابطة وغيرها من

الصفات لها علاقة كبيرة بالسطح النوعي .

نتيجة للأبحاث والدراسات التي قام بها العلماء تم التوصل إلى أنه عدا عن تأثير الصفات الفيزيائية للسوائل والغازات مثل الكثافة واللزوجة على قانون الارشاح ، هناك تأثير كبير أيضاً من القوى الشعرية عليه عند مناطق تماس السائل مع الصخر ، حيث أن هذه الظواهر والقوى يمكنها أن تغير بوضوح صفة الارشاح ، ولذلك تبين أنه في الصخور ذات الحبيبات الكبيرة ، حيث يكون السطح النوعي قليلاً فتأثير القوى الشعرية سيكون كبيراً على عملية ارتشاح السائل في الوسط المسامي ، وعلى هذا الأساس يعتبر السطح النوعي خاصية هامة من الخواص الفيزيائية للصخور المكممية .

كذلك يمكننا القول على أن استيعاب وفهم السطح النوعي هو من الأمور السهلة ولكن تعبينه يتعذر من الأمور الصعبة وذلك لأن القنوات المسامية المتشكلة في الصخر المكممي هي ذوات أقطار تتراوح من عشرات ومئات микرونات وإلى قيم صغيرة جداً قد تصل إلى ملليمترات الجزيء المتكونة منه ذات الصخر المكممي ، أما الصخور المتكونة من حبيبات ذات مقاييس متساوية تقريباً ، عندئذ يمكن تعبينه السطح النوعي والذي تكون قيمته قريبة من السطح النوعي الحقيقي للصخور ذاتها . لنفرض أن الحبيبات هي ذات شكل كروي أو بالأحرى حبيبات الصخر الوهمي ، عندئذ يسهل حساب سطح الحبيبات S الموجودة في واحد متر مكعب من الصخر .

$$S = \frac{6(1-\phi)}{d} \quad (37-1)$$

حيث أن :

S - السطح النوعي .

ϕ - المسامية .

d - قطر الحبيبات .

أما السطح النوعي للصخور الرملية الطبيعية فيحسب عادة بجمع كل الرموز

الداخلة في تركيب هذا الصخر والمحصول عليها عن طريق التحليل الميكانيكي
بالعلاقة التالية :

$$S = \frac{6(1-\phi)}{M} \sum \frac{M_i}{d_i} \quad (38-1)$$

حيث أن :

M - كتلة الصخر .

M_i - كتلة الزمرة .

d_i - القطر الوسطي للزمرة المعين بالمعادلة التالية :

$$d_i = \frac{d'_i + d''_i}{2} \quad (39-1)$$

حيث أن :

d'_i, d''_i - الحدان النهائيان لأقطار الزمرة المعينة

نتيجة للأبحاث والدراسات التي قام بها الباحثون ، تم التوصل إلى أنه لحساب السطح النوعي الحقيقي علينا بضرب النتيجة المحصول عليها بالعلاقة (37-1) بقيمة $1.2 - 1.4 = \alpha$ وذلك مع الأخذ بعين الاعتبار أن الصخور الحقيقية سوف لا يكون شكل حبيباتها كرويا كما اعتبرناه بالمعادلة (37-1) . كذلك من المعادلة (1) والتي بواسطتها يتم تعين قيمة السطح النوعي للصخور الوهمية ، حيث أنه وللانتقال من الصخر الوهمي إلى الصخر الحقيقي تم تبديل الصخر الوهمي بصخر وهمي مشابه ، بحيث تكون المقاومة الهيدروليكيه والسطح النوعي في أثناء ارتفاع السائل ضمن هذا الصخر الوهمي المشابه تساوي المقاومة الهيدروليكيه والسطح النوعي للصخر الحقيقي ، حيث أن قطر الحبيبات المشكلة لهذا الصخر الوهمي المشابه تسمى بالقطر الفعال d_E وبالتالي للانتقال من الصخر الوهمي إلى الصخر الحقيقي علينا بالتعويض بدلاً من قطر الحبيبات للصخر الوهمي بالقطر الفعال . وبمقارنة المعادلتين (1-37) و (38-1) نحصل على :

$$d_E = \frac{M}{\sum \frac{M_i}{d_i}} \quad (40-1)$$

أو

$$S = \frac{6(1-\phi)}{d_E} \quad (41-1)$$

كذلك بالإمكان تعين السطح النوعي بواسطة نصف القطر الهيدروليكي δ

$$\delta = \frac{\phi \cdot d}{6(1-\phi)} \quad (42-1)$$

حيث أن :

$$S = \frac{\phi}{\delta} \quad (43-1)$$

من المعروف أن نصف القطر الهيدروليكي يمثل نسبة علاقه سطح القوات المسامية إلى محيطها عندئذ سيكون :

$$\delta = \frac{R}{2}$$

حيث أن :

R - نصف قطر القوات المسامية .

$$S = \frac{2\phi}{R} \quad (44-1)$$

نعرض في المعادلة (44-1) قيمة R من المعادلة (23-1) فنحصل على :

$$S = \frac{\phi \cdot \sqrt{\phi}}{\sqrt{2K}} \quad (45-1)$$

حيث أن :

K - معامل النفوذية .

S - السطح النوعي .

إذا مثلت قيمة النفوذية بالمتر المربع ، عندئذ يكون السطح النوعي مقدراً بالواحدة

$$\cdot \text{m}^2/\text{m}^3$$

$$S = \frac{7 \times 10^5 \phi \sqrt{\phi}}{\sqrt{K}} \quad (46-1)$$

من المعادلتين (45-1) و (46-1) نستنتج أنه كلما كان نصف قطر القنوات المسامية والنفوذية صغيراً كان السطح النوعي كبيراً .

تمثل المعادلة رقم (46-1) شكلاً من أشكال معادلة كوزيني وكارمانا (Kouzeny & Carmania) التي توضح علاقة النفوذية بالمسامية ويسترجيب الفراغات المسامية . أما الشكل العام لمعادلة كوزيني وكارمانا فهو على الشكل التالي :

$$K = \frac{\phi^3}{f \cdot S^2 \cdot T^2} \quad (47-1)$$

حيث أن :

ϕ - المسامية الفعالة .

S - السطح النوعي .

T - اعوجاج القنوات المسامية (نسبة علاقة القيمة الوسطية لطول القنوات المسامية على طول العينة) .

f - ثابت يأخذ بعين الاعتبار شكل القنوات المسامية وقيمته تتراوح بين 2 إلى 3 . أما قيمة T فقد تصل إلى 6 وما فوق .

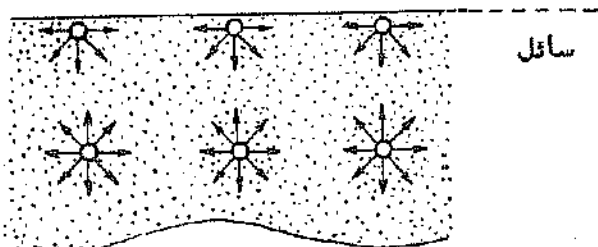
١-٧-١- المعاقات الشهوية

ذكرنا في البنود السابقة أنه يوجد في الطبقات التفطية جريان لعدة مواد طبقية . فإذا افترضنا أن الطبقة تحتوي على مادة واحدة فنتيجة لذلك سيكون بين الوسط المسامي والمادة المذكورة صنف واحد من القوى تتصف بالتأثير المتبادل فيما بينها، أما إذا كان لدينا عدة مواد فعلى الوسط المسامي ستؤثر على الأقل ثلاثة أصناف من القوى هي التوتر السطحي والضغط الشعري وخاصية التبلا

١-٧-١-١- التوتر السطحي

كلنا يعلم أن الجزيئات المشكّلة للماء متراقبة مع بعضها حيث تؤثر على كل جزئي قوة جذب من جميع الأطراف يجعله في حالة توازن ولكن إذا أخذنا مثلاً الحد الفاصل بين الماء والهواء فجزئيات الماء على الحد ليست في حالة توازن كالجزئيات الموجودة في المنتصف وإنما هي تحت تأثير قوى جذب للأسفل ، انظر الشكل رقم (44) ، وتكون منضغطة للأسفل كالنابض المضغوط لدى ضغطه مع الاحتفاظ بالضغط عليه سيبقى ضمنه قوة كامنة ، بحيث إذا رفعنا القوة من عليه سيعطي قوته الكبيرة . كذلك الأمر بالنسبة للجزئيات الموجودة على الحد الفاصل بين الماء والهواء فستكون تحت تأثير قوة شد للأسفل وهذه القوة يطلق عليها بالتورت السطحي ويرمز لها بالرمز σ .

هوا



الشكل رقم (44) الرسم التخطيطي للتوضيح قوى التجاذب بين الهواء والسائل

تمثل واحدة قياس التوتر السطحي العلاقة بين القوة وواحدة الطول :

$$\sigma = \frac{\text{erg}}{\text{Cm}^2} = \frac{\text{dyn} \cdot \text{Cm}}{\text{Cm}^2} = \frac{\text{dyn}}{\text{Cm}}$$

اعتماداً على قوة التوتر السطحي نستطيع أن نحكم على صفات تلامس المواد ، التأثير المتبادل بين السوائل والمواد الصلبة ، على نشاط ظهور القوى الشرعية وغيرها . بزيادة درجة الحرارة تقل قوة التوتر السطحي على الحد الفاصل بين المياه النقيّة والبخار وذلك بسبب تأثير الحرارة على تخفيف قوة التجاذب بين الجزيئات وهذه العلاقة تكتب بالشكل التالي :

$$\sigma_t = \sigma_0 (1 - \alpha \cdot t) \quad (48-1)$$

حيث أن :

σ_0 ، σ_t - قوة التوتر السطحي عند درجة الحرارة t وصفر .

α - معامل الحرارة لقوة التوتر السطحي .

t - درجة الحرارة .

الجدول رقم (1-1)

المادة	معامل الحرارة $1/C^\circ$	قوة التوتر السطحي عند درجة الحرارة $20^\circ C$ ، dyn/Cm
زيت	0.00035	465
ماء	0.00200	72.75
حمض الخل	0.00380	23.50

الجدول رقم (1-1) يوضح معامل الحرارة والتوتر السطحي لبعض السوائل .

تنقص قوة التوتر السطحي للسائل على الحد الفاصل مع الغاز بزيادة الضغط ويحدث ذلك نتيجة لأنضغاط الغاز وذوبانه في السائل .

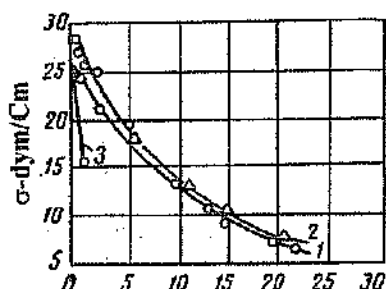
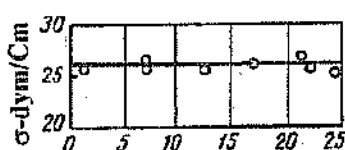
الجدول (1-2) يوضح نتائج قياس قوة التوتر السطحي عند درجات مختلفة من

الحرارة والضغط .

جدول (2-1)

الضغط Kgf/Cm ²	قوة التوتر السطحي عند درجات الحرارة ، C°		الضغط Kgf/Cm ²	قوة التوتر السطحي عند درجات الحرارة ، C°	
	25	65		25	65
0	-	67.5	69.2	55.9	50.4
6.9	71.1	63.2	103.0	51.0	46.5
17.2	65.5	58.8	137.6	47.9	42.3
34.5	61.6	55.5	186.4	44.1	39.5

أما العلاقة فهي علاقة التوتر السطحي على الحد الفاصل بين النفط والغاز مع الضغط . وبالرغم من أن هذه العلاقة لها - تقريبا - نفس المواصفات الموجودة عند الماء والغاز ولكن الاختلاف هنا هو أن تغير قوة التوتر السطحي يتعلق بعدة عوامل إضافية مثل التركيب الكيميائي للنفط ، كمية الغاز المذابة بالنفط وتركيزه وغيرها من العوامل .



الشكل رقم (46) التوتر السطحي للنفط معين على الحد الفاصل مع الماء لدى ضغوط مختلفة ودرجة حرارة C° = 20

الشكل رقم (45) علاقة التوتر السطحي للنفط مع الضغط

- 1- على الحد الفاصل مع الميكان عند C° = 20
- 2- على الحد الفاصل مع الميكان عند C° = 60
- 3- على الحد الفاصل مع مزيج الميكان والبروبان

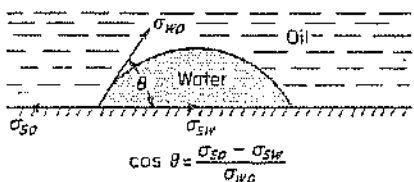
الشكل رقم (45) يوضح تغير قيم التوتر السطحي على الحد الفاصل بين النفط والغاز عند قيم مختلفة من الضغط . كذلك يتبيّن أنه كلما زادت كمية الغاز المذاب في النفط نتيجة لارتفاع الضغط كلّ قوة التوتر السطحي بسرعة أكبر .

أثبتت الدراسات المخبرية أيضاً أن قوة التوتر السطحي على الحد الفاصل بين النفط والماء لا تتأثر بارتفاع الضغط والحرارة وتكون ثابتة ، انظر الشكل رقم (46) وهذا يعنى بأن قوة تجاذب الجزيئات فيما بينها على الحد الفاصل تكون غير كبيرة وتقريباً متساوية للسائلين في إنشاء زيادة الضغط والحرارة .

1-7-2- خاصية التبلل

نفرض أنه لدينا أسطوانة مكونة من سائلين A و B ولها صفات متباعدة بحيث أن أحدهما لا يختلط بالأخر ، فعلى الحد الفاصل بين السائلين سيكون قوة التوتر السطحي σ_{AB} . فإذا فصلنا هذين السائلين عن بعضهما فسيتشكل سطحان جديدان ، يتشكل السطح الأول من السائل A والسطح الآخر من السائل B . العمل اللازم لفصل هذين السائلين عن بعضهما يساوي مجموع التوتر السطحي لكل سائل على حدة مطروحاً منه قوة التوتر السطحي فيما بينهما ، وهذا العمل يسمى بالأدھيزيا (Adheziation)

$$\sigma_A + \sigma_B - \sigma_{AB} = \text{Adheziation}$$



لنفرض الحالة التي يكون هناك اتصال بين الجسم الصلب وسائلين (نفط وماء) ، انظر الشكل رقم (46) ، فقوة الأدھيزيا ستمثل العمل الذي يعتبر تابعاً للتوتر ويُعيّن أي نوع من هذين السائلين له خاصية تبلل

الشكل رقم (46) قوة التوتر السطحي على الحد الفاصل بين الماء والنفط والجسم الصلب الجسم الصلب أكثر من الآخر .

لتبيّن زاوية التبلل θ والتي تفاس دوماً باتجاه السائل الذي له كثافة أكبر من

السائل الآخر وتتغير من الصفر إلى 180° ، وعلى هذا الأساس يمكن كتابة المعادلة التالية :

$$Ad = \sigma_{so} - \sigma_{sw} = \sigma_{wo} \cdot \cos \theta_{wo} \quad (49-1)$$

حيث أن :

Ad - قوة الأدھيزیا .

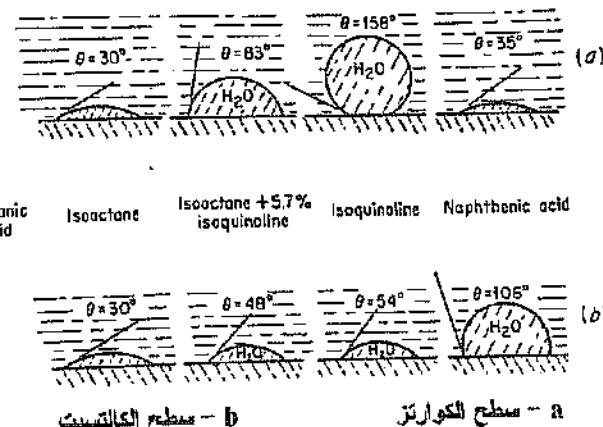
σ_{so} - التوتر السطحي على الحد الفاصل بين النفط والجسم الصلب .

σ_{sw} - التوتر السطحي على الحد الفاصل بين الماء والجسم الصلب .

σ_{wo} - التوتر السطحي على الحد الفاصل بين الماء والنفط .

إذا كانت قيمة الأدھيزیا موجبة ، فهذا يعني أن الماء له خاصیة تبلل للجسم الصلب أكثر من النفط ، بينما إذا كانت Ad تساوى الصفر ، فهذا يعني أن الماء والنفط لهما نفس الخاصیة بالنسبة للجسم الصلب .

توضیح الأدھيزیا التي عینت بالمعادلة (49-1) قدرة السائل الذي له خاصیة التبلل على الالتصاق بالجسم الصلب وانسیابه عليه . فإذا كانت قيمة الأدھيزیا كبيرة أو بالأحرى إذا كانت زاوية التبلل صغیرة فالماء سینساب بسرعة على الجسم الصلب محاولاً تغطیته ، وإذا كانت زاوية التبلل كبيرة فإنه يلزم منا طاقة خارجیة حتى ينساب الماء على الجسم الصلب .

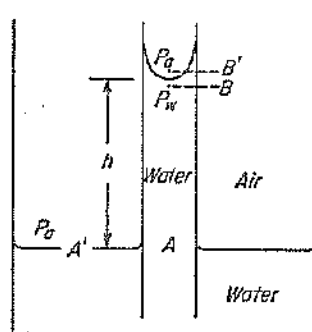


الشكل رقم (47) زوايا التبلل

نظام "ماء - إيزو أوكتان" ومن الشكل رقم (47) يتبين أن الماء له خاصية تبلل جيدة للكوارتز والكالسيت أيضاً، ونظام "ماء حمض النفتاليك" يتبين أن الماء له خاصية تبلل لسطح الكوارتز أكثر من حمض $\text{H}_2\text{Naphthalic acid}$ $\theta = 35^\circ$ ، بينما حمض النفتاليك له خاصية تبلل جيدة لسطح الكالسيت أكثر من الماء $\theta = 106^\circ$. ولنظام "ماء - إيزو أكتان + 7" ، 5 إيزو كوبينولين "نرى أن الماء له خاصية تبلل جيدة لسطح الكالسيت ، بينما الأخير له خاصية تبلل جيدة لسطح الكوارتز أفضل من الماء . ولنظام "ماء - إيزو كوبينولين" نرى أن الماء له خاصية تبلل جيدة لسطح الكالسيت أفضل من الإيزو كوبينولين ، بينما الأخير له خاصية تبلل جيدة لسطح الكوارتز أفضل من الماء .

ما ذكر نستنتج أن تغير تركيب الصخور وطبيعة السوائل له تأثير كبير على خاصية التبلل . عدا عن ذلك يوضح ما ذكر أعلاه أن التركيب الكيميائي للسوائل والصخور عند النظام "نفط - ماء - جسم صلب" له تأثير كبير على خاصية التبلل وبالتالي يبين أن الجسم الصلب سيكون محبّاً للماء (Hidrofile) أو غير محبّ للماء (Hidrofobe) .

١-٧-٣- ارتفاع السوائل في الأنابيب الشعرية



الشكل رقم (48) الضغط في الأنابيب الشعرية على الحد الفاصل بين الماء والهواء

إذا كان لدينا أنبوب شعري ذو قطر قطر صغير جداً ، حيث أن هذا الأنابيب مغمور من إحدى نهايتيه بوعاء فيه ماء لمستوى معين ، انظر الشكل رقم (48) ، فإن الماء سيرتفع في الأنابيب وسيكون مستوى فيه أعلى من مستوى في الوعاء وهذه الظاهرة تعلم نتيجة لقوة الأدھيزيا بين جدران الأنابيب الداخلية والسوائل ،

حيث أنها مستمرة إلى حين توازن ضغط عمود السائل في الأنابيب مع القوة التي تؤثر على السائل لدفعه إلى الأعلى . قوة دفع السائل للأعلى يمكننا توضيحها رياضيا على النحو التالي :

$$Ad \cdot 2\pi r$$

ويمكننا كتابة العلاقة أيضا على الشكل الآتي :

$$\sigma_{wg} \cdot \cos \theta \cdot 2\pi r$$

وزن عمود السائل في الأنابيب يساوي :

$$\pi \cdot r^2 \cdot p \cdot g \cdot h$$

حيث أن :

ـ قوة الأدھيزيا ، dyn/cm

ـ قوة الجاذبية ، cm/s

ـ نصف قطر الأنابيب ، cm

ـ كثافة السائل ، g/cm³

وبمساواة هاتين المعادلين يمكننا أن نحسب قوة الأدھيزيا الكلية بوازنها وزن عمود السائل في الأنابيب . الضغط في الوسط العائلي P_w تحت الحد الفاصل بين الغاز والسائل في الأنابيب أقل من الضغط في الوسط الغازي P_g فوق الحد الفاصل بين الغاز والسائل ، حيث أن فارق الضغط يسمى الضغط الشعري . من الشكل رقم (48) يتبيّن أن عمود السائل سيرتفع في الأنابيب للقيمة h ، فإذا كانت h صغيرة ، فإنه لم يمكّن إهمال عمود الغاز . وعلى هذا الأساس فالضغط في الوسط الغازي على الحد الفاصل بين الغاز والسائل في الأنابيب يساوي ضغط الهواء على سطح الماء في الوعاء . وبما أن كثافة الماء - نوعا ما - كبيرة ، لذلك فالضغط في الوسط المائي مباشرة تحت الحد الفاصل بين الماء والغاز في الأنابيب يختلف عن الضغط في القسم السفلي بفارق وزن عمود السائل للارتفاع h . وبما أن سطح الماء

في الوعاء أكبر بكثير من سطح الماء في الأنابيب ، لذا يمكننا اعتباره أفقيا والضغط الشعري في القسم السفلي من الأنابيب يساوي ضغط الغاز على سطح الماء في الوعاء والضغط في القسم العلوي من الأنابيب تحت الحد الفاصل بين الماء والهواء يساوي الضغط في القسم السفلي من الأنابيب ناقص وزن عمود المسائل والذي ارتفاعه يكون مساويا h . نرمز للضغط في الوسط المائي في الأنابيب مباشرة تحت الحد الفاصل بين الماء والهواء P_w وللضغط في الوسط الغازي فوق هذا الحد P_a ، لذا سيصبح لدينا :

$$P_a - P_w = \rho_w \cdot g \cdot h = P_k \quad (50-1)$$

حيث أن :

ρ_w - كثافة الماء .

g - قوة الجاذبية .

h - فرق مستوى الماء في الأنابيب والوعاء .

ذكرنا سابقاً أن فارق الضغط بين P_a و P_w يساوي الضغط الشعري P_k ، لذلك لحساب هذا الضغط يمكننا مقارنة القوى التي تؤثر للأعلى وللأسفل :

$$2\pi \cdot r Ad = \pi \cdot r^2 \cdot \rho g \cdot h$$

$$h = \frac{2\pi \cdot r Ad}{\pi \cdot r^2 \cdot \rho \cdot g} = \frac{2 Ad}{r \cdot \rho \cdot g} \quad (51-1)$$

وبتعويض قيمة Ad من المعادلة (49-1) نحصل على :

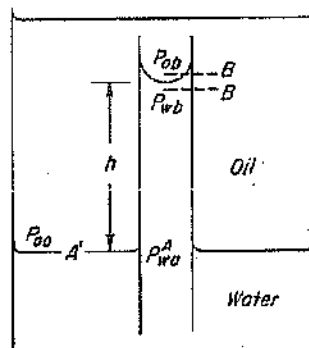
$$h = \frac{2\sigma_{wg} \cdot \cos \theta_{wg}}{r \cdot \rho \cdot g} \quad (52-1)$$

بتتعويض قيمة h من المعادلة (51-1) في المعادلة (50-1) نحصل على :

$$P_k = \frac{2\sigma_{wg} \cdot \cos \theta_{wg}}{r} \quad (52-1)$$

والآن لنبحث الحالة التي نغمر فيها الأنابيب الشعري المملوء بالنقط في وعاء فيه

ماء ، حيث ستشكل لدينا حد فاصل بين النفط والماء ، انظر الشكل رقم (49) .



الشكل رقم (49) الضغط في الأنابيب الشعري على الحد الفاصل بين الماء والنفط

لنتعتبر الرموز التالية :

- الضغط في الوسط النفطي في النقطة A' . P_{0a}
- الضغط في الوسط النفطي في النقطة B' . P_{0b}
- الضغط في الوسط المائي في النقطة A . P_{wa}
- الضغط في الوسط المائي في النقطة B . P_{wb}

ذلك في مثل هذه الحالة إذا كان سطح الحد الفاصل بين النفط والماء في الوعاء كبيرا ، لذا يمكننا من اعتبار سطحه أفقيا ولذلك فالضغط الشعري في النقطة A' سيساوي الصفر أو بالأحرى على الحد الفاصل بين النفط والماء في الوعاء سيكون $P_{0a} = P_{wa}$. للحصول على علاقة الضغط في النقطة B يجب الأخذ بعين الاعتبار قيمة كثافة الماء والنفط .

$$P_{0b} = P_{0a} - \rho_o \cdot g \cdot h ; \quad P_{wb} = P_{wa} - \rho_w \cdot g \cdot h$$

عندئذ فرق الضغط بين طرفي الحد الفاصل بين النفط والماء في الأنابيب

سيكون :

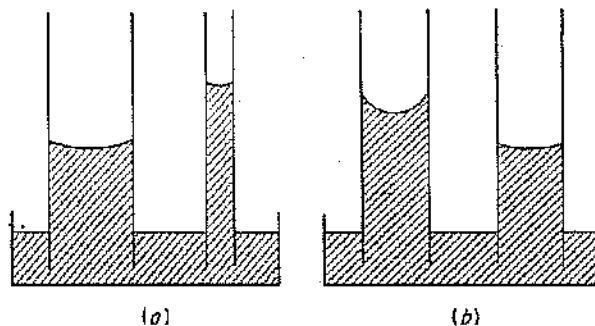
$$P_{0b} - P_{wb} = (\rho_w - \rho_o) g \cdot h = P_k \quad (53-1)$$

في هذه الحالة يمكننا أيضا الحصول على المعادلة التي بواسطتها نستطيع حساب الضغط الشعري مثلاً حصلنا عليها سابقاً في حالة وجود ماء وهواء وسيكون لها

الشكل التالي :

$$P_K = \frac{2 \sigma_{w_0} \cdot \cos \theta_{w_0}}{r} \quad (54-1)$$

من المعادلة (54-1) يتبين أن الضغط الشعري يتناسب طرداً مع قوة الأدھيزيا ($\sigma_{w_0} \cdot \cos \theta_{w_0}$) وعكساً مع نصف قطر الأنابيب الشعري .



الشكل رقم (50) علاقة ارتفاع السائل في الأنابيب الشعري مع خاصية التبلل ونصف قطر الأنابيب

يوضح الشكل رقم (50) تأثير نصف قطر الأنابيب وتغير خاصية التبلل على مستوى ارتفاع السائل في الأنابيب . لدى زيادة نصف قطر الأنابيب دون تغيير صفات خاصة التبلل فمستوى ارتفاع السائل في الأنابيب سيكون أقل من مستوى السائل في الأنابيب ذي القطر الأصغر ، الشكل رقم (50-a) .

بتغيير صفات خاصة التبلل دون تغيير نصف قطر الأنابيب ، فإننا نحصل إلى النتيجة التالية : أنه بزيادة قوة الأدھيزيا يزداد ارتفاع مستوى الماء في الأنابيب . فعند تغيير خاصية التبلل للجسم الصلب فقط مع ثبات نصف قطر الأنابيب نجد أنه كلما كانت زاوية التبلل θ صغيرة كانت قوة الأدھيزيا أكبر ، وبالتالي ستؤدي إلى زيادة ارتفاع مستوى السائل في الأنابيب ليصل إلى ذلك الارتفاع ، حيث يحدث

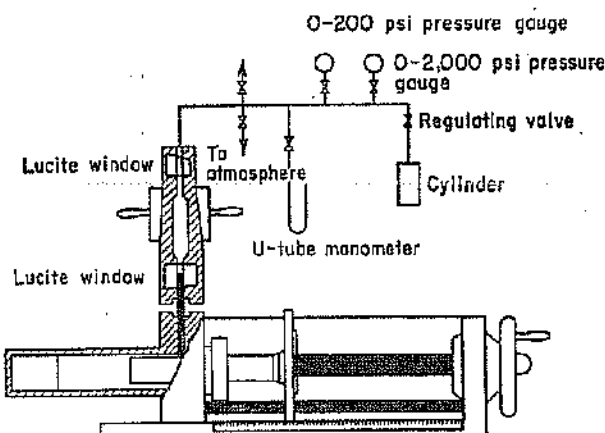
توازن بين هذين الأنبوبيين ، انظر الشكل رقم (50-b) والذي يبين أنه كلما قلت الزاوية θ سيؤدي ذلك إلى ارتفاع مستوى السائل في الأنابيب .

٤-٧-٤- توزع المسامات حسب مقاييسها - منحنيات الضغط الشعري

- تشبع المسام بسادة ذات خاصية تبلل

يعين الاحتواء النسبي للمسامات ذوات المقاييس المختلفة في الوسط المسامي في أغلب الأحيان بطريقة حقن الزئبق في العينة أو بطريقة الحاجز ذي التفونية الضعيفة .

أما طريقة حقن الزئبق ، انظر الشكل رقم (51) ، فهي على النحو التالي :



الشكل رقم (51) جهاز قياس الضغط باستخدام حقن الزئبق

توضع العينة الجافة المغسولة من النفط في حجرة مفرغة من الهواء ومعلوقة بالزئبق ، يحقن الزئبق في مسامات العينة بواسطة مكبس عادي ، وذلك برفع الضغط تدريجيا ، حيث يعين نصف قطر المسام الذي يحقن فيه الزئبق بالمعادلة التالية :

$$P_K = \frac{2 \sigma \cos \theta}{r} \quad (55-1)$$

حيث أن :